

Немонотонное поведение концентрации в кинетике растворения фуллеренов

Т. В. Тропин¹⁾, М. В. Авдеев, В. Б. Приезжев, В. Л. Аксенов

Лаборатория нейтронной физики им. И.М. Франка ОИЯИ, 141980 Дубна, Россия

Лаборатория теоретической физики им. Н. Н. Боголюбова ОИЯИ, 141980 Дубна, Россия

Российский научный центр “Курчатовский институт”, 123182 Москва, Россия

Поступила в редакцию 31 марта 2006 г.

Предложена кластерная модель растворения фуллеренов C_{60} в неполярном растворителе, позволяющая объяснить экспериментально наблюдаемый максимум в зависимости концентрации раствора от времени при растворении. Модель базируется на кинетических уравнениях теории нуклеации и учитывает баланс между потоком молекул фуллерена из твердой фазы и седиментацией больших кластеров из раствора. Формирование кластеров описывается с помощью капельной модели. Анализ численных решений уравнений дает четыре качественно различных режима растворения, зависящих от сочетания параметров модели.

PACS: 05.20.Dd, 61.46.Bc, 61.48.+c, 68.55.Ac

1. Введение. В последнее время большое количество экспериментальных работ по растворам фуллеренов свидетельствуют о тенденции последних к образованию кластеров [1]. Для многих растворов фуллеренов наблюдается формирование стабильных [1, 2] и меняющихся во времени [3] кластеров. Однако экспериментальные данные часто противоречат друг другу как в отношении существования кластеров, так и их параметров, что указывает на сложную кинетику растворения фуллеренов и зависимость данного процесса от внешних факторов.

В отношение неполярных и слабополярных растворителей фуллерены, в отличие от других аллотропных форм углерода, обладают сравнительно хорошей растворимостью. В то же время, размер фуллеренов (~ 1 нм) позволяет рассматривать их и как коллоидные частицы. Поэтому можно сказать, что если вначале, при помещении твердой фазы фуллеренов в жидкость, образуется молекулярный раствор, то со временем обнаруживается действие дисперсионных сил [4], приводящих к кластеризации фуллеренов и появлению признаков коллоидного раствора. Этот процесс очевидным образом зависит от условий растворения, в частности, от внешних воздействий (ультразвук, сильное перемешивание, нагревание), что может объяснять несогласованность экспериментальных данных по наблюдениям кластеров [1, 2, 5], а также значительное различие в первых измерениях макроскопических параметров рас-

творов фуллеренов (коэффициента диффузии, растворимости) [1, 6–8]. Даже при “равновесном” растворении, когда насыщенный раствор есть результат установления самопроизвольного равновесия между молекулами в твердой и жидкой фазах без каких-либо воздействий, наблюдаются специфические эффекты, связанные с кластерообразованием.

В первую очередь это касается немонотонного характера изменения во времени концентрации фуллеренов при растворении. Так, в насыщенном растворе фуллерена C_{60} в сероуглероде (CS_2) после достижения максимальной концентрации в течение приблизительно трех суток концентрация фуллерена начинает падать (около 20 % в сутки), приближаясь к стабильному равновесному значению. Данный эффект наблюдался с помощью спектроскопии видимого и ультрафиолетового излучений [8] и был позже подтвержден в экспериментах по малоугловому рассеянию нейтронов [9].

В настоящей работе мы предлагаем модель растворения фуллерена C_{60} для качественного объяснения наблюдаемого эффекта на основе кинетических уравнений теории нуклеации. Ранее кинетическая теория нуклеации использовалась нами для объяснения существования квазистабильного кластерного состояния фуллеренов в растворах, что потребовало модификации уравнений теории, а также капельной модели кластера [10–13]. В данной работе для объяснения кинетического эффекта при растворении фуллерена мы развиваем другой подход, используя капельную модель кластера и модифицируя уравнения та-

¹⁾e-mail: ttv@nf.jinr.ru

ким образом, чтобы наряду с формированием кластеров описать конкуренцию двух сопутствующих процессов: поступление молекул C_{60} из твердой фазы и осаждение кластеров, достигших определенного размера. Далее с помощью численного решения кинетических уравнений представлен анализ возможных режимов кинетики растворения фуллеренов в рамках данной модели. В частности, один из режимов качественно описывает обсуждаемый эффект.

Следует заметить, что предложенная модель описывает кинетику мелкодисперсных систем в общем виде, а ее частным случаем являются рассматриваемые здесь растворы фуллеренов в неполярных растворителях. Применимость теории к растворам C_{60} обусловлена тем, что образование и рост кластеров в этих растворах можно описывать как процессы присоединения или испускания кластерами одинаковых по всем свойствам частиц (мономеров) – молекул C_{60} . Для сравнения теории с экспериментом мы используем параметры, получаемые из экспериментов с растворами фуллеренов в сероуглероде.

2. Модель растворения. Следуя общей теории нуклеации [14], запишем систему кинетических уравнений, описывающую образование и рост кластеров в растворе при постоянной концентрации агрегирующих частиц. Это система дифференциальных уравнений для функций распределения кластеров по размерам, $f(n, t)$, то есть объемной концентрации кластеров фуллеренов, состоящих из n мономеров, в момент времени t . Будем считать, что фуллерены в кластерах плотно упакованы, а форма кластеров близка к сферической и не зависит от размера (числа агрегации n). Выражение “кластер размера n ” будет использоваться в дальнейшем для обозначения кластера, состоящего из n мономеров. Положим также, что образование и рост кластеров возможны только путем агрегации и эмиссии мономеров.

В этом случае справедливо следующее уравнение:

$$\frac{\partial f(n, t)}{\partial t} = w_{n-1, n}^{(+)} f(n-1, t) + w_{n+1, n}^{(-)} f(n+1, t) - w_{n, n+1}^{(+)} f(n, t) - w_{n, n-1}^{(-)} f(n, t). \quad (1)$$

Здесь $w_{n-1, n}^{(+)}$ есть вероятность того, что к кластеру размером $(n-1)$ присоединится мономер, а $w_{n, n-1}^{(-)}$ есть вероятность эмиссии кластером размера n одного мономера в единицу времени. Начальные условия определяются концентрацией свободных мономеров, c_0 , в растворе:

$$f(n, t=0) = \begin{cases} 0, & n > 1 \\ c_0, & n = 1 \end{cases}. \quad (2)$$

Если общее число мономеров в растворе не меняется, то имеем также равенство

$$\sum_{n=1}^{\infty} n f(n, t) = c_0. \quad (3)$$

Изменение свободной энергии ΔG системы при образовании в ней кластера размером n и образовании кластера размером $(n-1)$ определяет отношение вероятностей агрегации и эмиссии мономеров:

$$\frac{w_{n-1, n}^{(+)}}{w_{n, n-1}^{(-)}} = \exp \left\{ -\frac{\Delta G(n) - \Delta G(n-1)}{k_B T} \right\}. \quad (4)$$

Вероятность $w_{n-1, n}^{(+)}$ определяется кинетикой роста кластеров. Обычно рассматривают две модели роста: диффузионно и кинетически ограниченный рост. В случае роста, ограниченного диффузией (модель DLA), когда время присоединения мономера к поверхности кластера пренебрежимо мало по сравнению со временем дрейфа частицы к кластеру, величина $w_{n-1, n}^{(+)}$ определяется следующим образом [14]:

$$w_{n, n+1}^{(+)} \propto D c (w_s n)^{1/3}. \quad (5)$$

Здесь D – коэффициент диффузии, $c = f(1, t)$ – концентрация свободных мономеров в растворе в данный момент времени. Здесь и далее индексами m обозначаются характеристики молекул в составе кластера (твердой фазы), а индексами s – их характеристики в растворе. Так, w_s есть объем молекулы фуллера, недоступный растворителю, а w_m соответственно есть эффективный объем молекулы в кластере.

В случае кинетически ограниченного роста (KLA), когда время присоединения мономера к кластеру много больше времени дрейфа частицы к кластеру, справедливо выражение

$$w_{n, n+1}^{(+)} \propto D' c a_m \left(\frac{w_s}{w_m} \right)^{2/3} n^{2/3}, \quad (6)$$

где D' – коэффициент диффузии, характеризующий скорость прилипания частиц к кластеру; a_m , a_s – диаметр фуллеренов C_{60} в составе кластера или сегрегирующих в растворе, соответственно.

В общем случае имеют значение оба процесса – диффузия сегрегирующих частиц к кластеру и присоединение молекул к кластеру. Тогда имеет место промежуточный режим (DLA+KLA) и вероятность $w_{n-1, n}^{(+)}$ описывается соотношением

$$w_{n, n+1}^{(+)} \propto D' c (w_s n)^{1/3} \left\{ \frac{\left(a_s / a_m \right) n^{1/3}}{1 + \left[\left(D' / D \right) \left(a_s / a_m \right) \right] n^{1/3}} \right\}. \quad (7)$$

Подставляя (7) в (1), получаем систему кинетических уравнений, описывающую эволюцию функции $f(n, t)$ со временем:

$$\begin{aligned} \frac{\partial f(n, t')}{\partial t'} = & \left(\frac{c}{c_{eq}^{(\infty)}} \right) \left\{ (n-1)^{1/3} g(n-1) f(n-1, t') + \right. \\ & + n^{1/3} g(n) f(n+1, t') \exp \left[\frac{\Delta G(n+1) - \Delta G(n)}{k_B T} \right] \left. \right\} - \\ & - \left(\frac{c}{c_{eq}^{(\infty)}} \right) \left\{ \exp \left[\frac{\Delta G(n) - \Delta G(n-1)}{k_B T} \right] \times \right. \\ & \left. \times (n-1)^{1/3} g(n-1) + n^{1/3} g(n) \right\} f(n, t') \end{aligned} \quad (8)$$

с граничным условием (2) и законом сохранения (3).

Здесь мы положили

$$g(n) = \frac{[(D'/D)(a_s/a_m)] n^{1/3}}{1 + [(D'/D)(a_s/a_m)] n^{1/3}} \quad (9)$$

и ввели коэффициент $c_{eq}^{(\infty)}$, определяющий скорость процессов образования и роста кластеров [14]. Параметр $c_{eq}^{(\infty)}$ соответствует некоторой критической концентрации, равной пределу, выше которого происходят процессы агрегации фуллеренов: образование и рост кластеров начинается, только если концентрация фуллеренов в растворе больше $c_{eq}^{(\infty)}$. Следует заметить, что его величина не обязана совпадать с концентрацией насыщения фуллерена в растворе, c' . Именно это различие может объяснить возможность существования равновесных или квазиравновесных кластеров в растворах фуллеренов, когда $c' > c_{eq}^{(\infty)}$. Как было показано в [10–13], численные решения кинетических уравнений (8) с использованием экспериментально измеренных параметров качественно описывают образование и рост кластеров C_{60} в неполярных растворителях.

В полученных уравнениях введена масштабированная шкала времени t' , связанная со шкалой t соотношениями, которые зависят от рассматриваемой для данного раствора модели роста. Так, в режиме DLA

$$dt' \propto D c_{eq}^{(\infty)} a_s dt, \quad (10)$$

а в режиме KLA имеем

$$dt' \propto D' c_{eq}^{(\infty)} a_m \left(\frac{w_s}{w_m} \right)^{2/3} dt. \quad (11)$$

В случае рассматриваемого нами режима DLA+KLA выполняется соотношение (10), однако сами процессы образования и роста кластеров протекают несколько медленнее, в частности, из-за модификации

уравнений (8) функцией (9). Таким образом, характерные временные интервалы, получаемые в результате решений уравнений (8), определяются значением величины D' , характеризующей скорость присоединения молекулы фуллерена к кластеру. Определить величину D' для конкретного растворителя напрямую сложно, поэтому, как правило, для определения масштабированной временной шкалы применяется следующая процедура: рассматриваются результаты эксперимента, из которого можно извлечь эволюцию кластерного состояния системы во времени. По этой эволюции выбирается значение величин, отвечающих за переход от шкалы времени t' к шкале t . После этого проводятся расчеты для изучаемой системы.

Модификация вышеизложенной модели, предлагаемая в настоящей работе, связана с учетом наличия твердой фазы фуллерена в насыщенном растворе. Чтобы применять уравнения (8) для описания кинетики растворения фуллеренов в данном случае, необходимо смоделировать потоки частиц из твердой фазы и обратно. Во-первых, предположим, что из твердой фазы C_{60} в раствор идет поток молекул фуллерена, который прекращается при достижении концентрации насыщения в растворе. В общем виде это приведет к следующим изменениям в уравнениях (2) и (3):

$$\begin{aligned} f(n, 0) = 0, \forall n; \quad & \sum_{n=1}^{\infty} n f(n, t) = c(t); \\ \dot{f}(1, t) = & \begin{cases} \dot{c}, & c(t) < c' \\ 0, & c(t) > c' \end{cases}. \end{aligned} \quad (12)$$

Здесь c' – величина концентрации насыщения; $\dot{f}(1, t)$ – скорость поступления молекул C_{60} из твердой фазы в раствор в момент времени t . Параметр \dot{c} , вообще говоря, также может зависеть от значения $c(t)$ в данный момент времени. В первом приближении будем считать, что концентрация фуллеренов в растворе растет линейно со временем, то есть $\dot{c} = \text{const}$.

Во-вторых, в уравнениях (8) учтем выпадение из раствора больших кластеров фуллеренов из-за их седиментации. Пусть n' – размер кластера фуллерена для данного растворителя, начиная с которого кластеры медленно выпадают из раствора. Для описания седиментации таких частиц в уравнения (8), для которых выполняется условие $n > n'$, добавим дополнительное слагаемое вида $-(e^{n/n'} - 1)f(n, t')$. Как видно, в этом случае скорость седиментации кластеров из раствора тем больше, чем больше их размер.

В результате получаем следующие уравнения:

$$\begin{aligned}
 & \frac{\partial f(n, t')}{\partial t'} = \\
 & = \left(\frac{c}{c_{eq}^{(\infty)}} \right) \left\{ (n-1)^{1/3} g(n-1) f(n-1, t') + \right. \\
 & + n^{1/3} g(n) f(n+1, t') \exp \left[\frac{\Delta G(n+1) - \Delta G(n)}{k_B T} \right] \left. \right\} - \\
 & - \left(\frac{c}{c_{eq}^{(\infty)}} \right) \left\{ \exp \left[\frac{\Delta G(n) - \Delta G(n-1)}{k_B T} \right] \times \right. \\
 & \times (n-1)^{1/3} g(n-1) + n^{1/3} g(n) + \\
 & \left. + \left(e^{n/n'} - 1 \right) \right\} f(n, t') \quad (13)
 \end{aligned}$$

с дополнительными условиями (12).

Итак, уравнения (13) описывают кинетику растворения фуллеренов с учетом поступления новых молекул фуллерена в раствор и осаждения больших кластеров.

3. Режимы кинетики растворения. Система уравнений (13) решалась численно с дополнительными условиями (12) для различных наборов параметров

$$c', c_{eq}^{(\infty)}, \dot{c}, n'. \quad (14)$$

Величина концентрации фуллеренов в растворе от времени $c(t)$ вычислялась из функции распределения кластеров по размерам $f(n, t)$ по формуле

$$c(t) = \sum_{n=1}^{n_{\max}} n f(n, t), \quad (15)$$

где n_{\max} – максимальный размер кластера фуллеренов, присутствующего в растворе. Примеры эволюции функции $f(n, t)$ приведены на рисунках.

Можно выделить несколько видов качественно различных решений (режимов кинетики растворения). Тривиальное решение получается в случае растворов, для которых выполняется соотношение

$$c' \leq c_{eq}^{(\infty)}. \quad (16)$$

В этом случае устойчивых кластеров в растворе не образуется. Имеется небольшая концентрация малых кластеров, которые образуются вследствие флюктуаций. Зависимость $c(t)$ (см. рис.1) имеет излом, который является следствием упрощения модели растворения, а именно, отсутствия непрерывности функции $f(1, t)$ в точке $c(t) = c'$.

Для условия же

$$c' > c_{eq}^{(\infty)} \quad (17)$$

имеют место три различных режима кластерообразования. Первый из них (рис.2) близок к зависимости

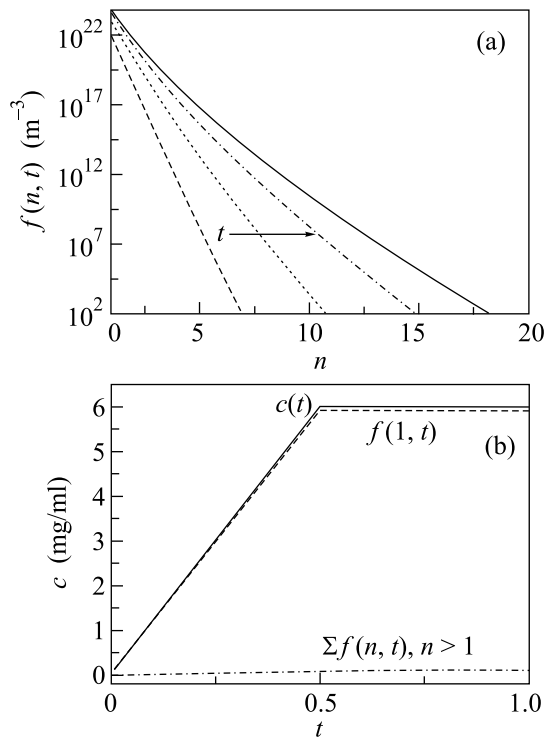


Рис.1. (а) Эволюция функции распределения кластеров C_{60} по размерам во времени; (б) зависимость концентрации фуллеренов в растворе C_{60}/CS_2 от времени в случае $c' \leq c_{eq}^{(\infty)}$. Здесь $c(t)$ – полная концентрация фуллеренов, $f(1, t)$ – концентрация мономеров C_{60} и $\Sigma f(n, t)$, $n > 1$ – концентрация кластеров C_{60} в растворе

$c(t)$ на рис.1. Для его реализации необходимо, чтобы выполнялось такое сочетание параметров (14), при котором нет значительного запаздывания процесса седиментации кластеров относительно поступления молекул C_{60} из твердой фазы в раствор. Это запаздывание тем больше, чем больше n' и меньше \dot{c} . Заметим, что хотя зависимости $c(t)$ на рис.1, 2 близки по своему виду, во втором случае в растворе образуются устойчивые кластеры фуллерена, что приводит к сглаживанию кривой $c(t)$.

При увеличении значений величин n' , $c'/c_{eq}^{(\infty)}$ и уменьшении \dot{c} реализуется немонотонный режим поведения $c(t)$ (рис.3). В этом случае на кривой $c(t)$ наблюдаются затухающие колебания концентрации вокруг некоторой предельной величины. Как правило, именно эту величину определяют экспериментально и приравнивают к концентрации насыщения раствора. В нашем же случае именно максимум концентрации на графике $c(t)$ соответствует концентрации насыщения c' . Такое поведение качественно соответствует экспериментальным данным по кинетике растворения фуллерена в неполярном растворителе [8], когда для $c(t)$ наблюдается максимум.

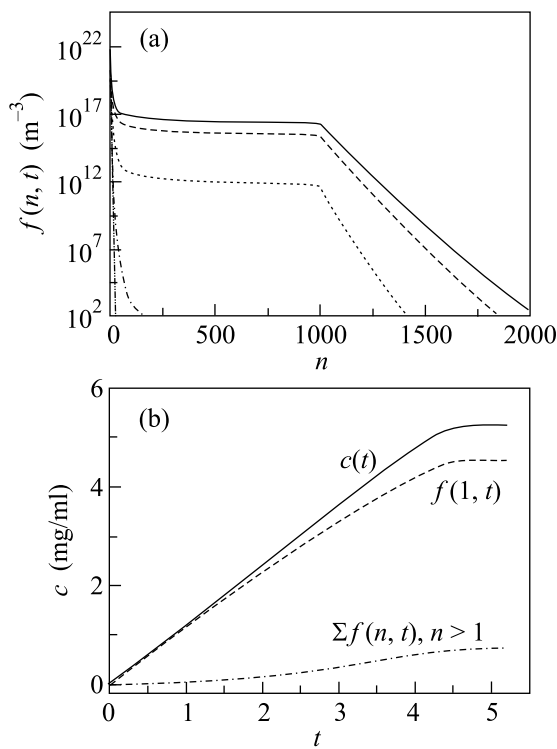


Рис.2. (а) Эволюция функции распределения кластеров C_{60} по размерам во времени; (б) зависимость $c(t)$ – полной концентрации фуллеренов, $f(1, t)$ – концентрации мономеров C_{60} и $\Sigma f(n, t)$, $n > 1$ – концентрации кластеров C_{60} в растворе от времени. Параметры модели: $c' = 5.7 \cdot 10^{24} \text{ м}^{-3}$, $c_{eq}^{(\infty)} = 5.7 \cdot 10^{23} \text{ м}^{-3}$, $n' = 1000$, $\dot{c} = 10^{21} \text{ м}^{-3}/dt'$

Наконец, когда процессы седиментации крупных кластеров и поступления молекул C_{60} в раствор становятся полностью рассогласованными, наблюдается автоколебательный режим (рис.4). Возможность наблюдения такого режима на практике обсуждается. Для его реализации необходима система с очень низким темпом поступления легких молекул в раствор из твердой фазы, сопровождающимся медленными процессами образования и роста кластеров.

В то же время, существует отдельный класс химических реакций, называемых колебательными (например, реакция Белоусова–Жаботинского), в которых наблюдаются аналогичные зависимости концентраций промежуточных соединений и скорости реакции от времени [15].

Итак, наблюдаемая немонотонная зависимость концентрации $c(t)$ от времени в последних двух случаях (рис.3, 4) может быть объяснена запаздыванием процесса седиментации по сравнению с поступлением фуллеренов в раствор из твердой фазы. Для режима на рис.3 при больших временах, когда достигается

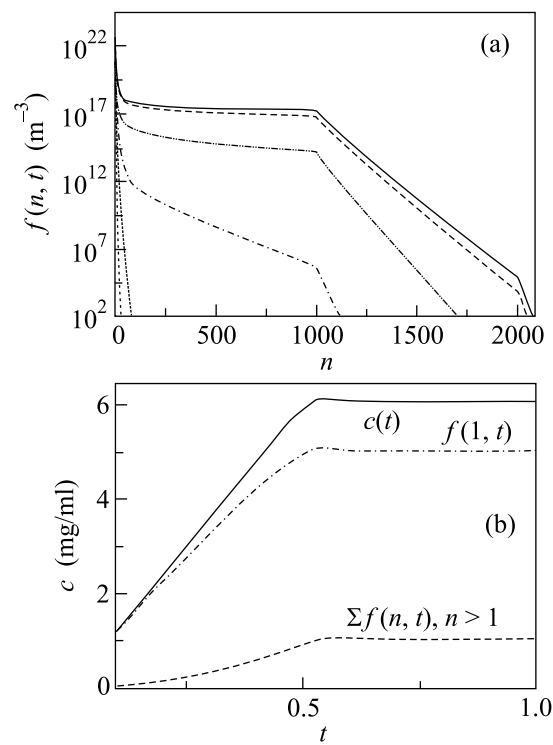


Рис.3. (а) Эволюция функции распределения кластеров C_{60} по размерам во времени; (б) зависимость $c(t)$ – полной концентрации фуллеренов, $f(1, t)$ – концентрации мономеров C_{60} и $\Sigma f(n, t)$, $n > 1$ – концентрации кластеров C_{60} в растворе от времени. Параметры модели: $c' = 5.7 \cdot 10^{24} \text{ м}^{-3}$, $c_{eq}^{(\infty)} = 5.7 \cdot 10^{23} \text{ м}^{-3}$, $n' = 1000$, $\dot{c} = 10^{22} \text{ м}^{-3}/dt'$

стационарный режим, оба процесса согласованы, но на начальном этапе растворения второй процесс преобладает, что приводит к возникновению максимума концентрации. Периодические колебания концентрации на рис.4 имеют ту же природу: при выпадении из раствора большого кластера общая концентрация фуллеренов падает и процесс возвращается к начальному этапу.

4. Заключение. В работе предложена модель, описывающая кинетику растворения фуллерена C_{60} в неполярном растворителе. Наряду с кластерообразованием в рамках теории нуклеации, модель учитывает конкуренцию между поступлением молекул C_{60} в раствор и седиментацией больших кластеров из раствора.

Проведенный анализ данной модели указывает на существование нескольких режимов растворения фуллерена C_{60} . Один из них качественно объясняет существование пика в поведении растворимости фуллерена от времени, наблюдавшегося экспериментально. Реализация на практике предсказанного режима ста-

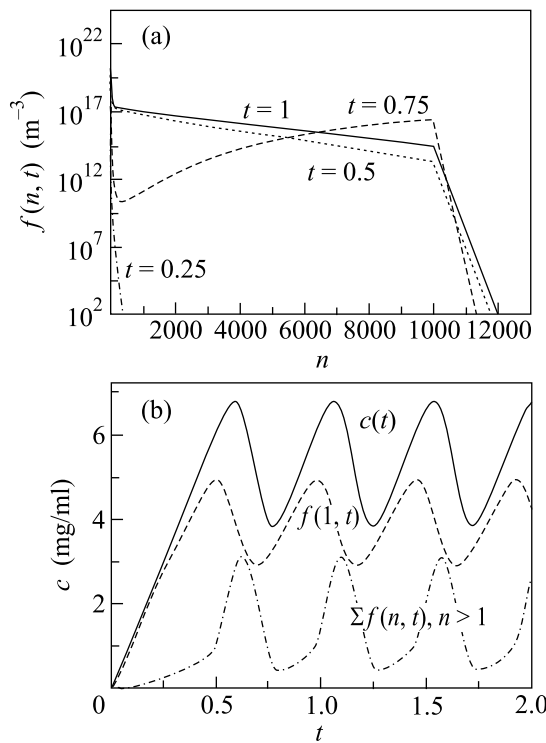


Рис.4. (а) Эволюция функции распределения кластеров C_{60} по размерам во времени; (б) зависимость $c(t)$ – полной концентрации фуллеренов, $f(1,t)$ – концентрации мономеров C_{60} и $\sum f(n,t), n > 1$ – концентрации кластеров C_{60} в растворе от времени. Параметры модели: $c' = 5.7 \cdot 10^{24} \text{ м}^{-3}$, $c_{eq}^{(\infty)} = 5.7 \cdot 10^{23} \text{ м}^{-3}$, $n' = 10000$, $\dot{c} = 10^{22} \text{ м}^{-3}/dt'$

ционарных колебаний растворимости возможна для систем с очень низким темпом поступления легких молекул в раствор из твердой фазы, сопровождающимся медленными процессами образования и роста кластеров.

Подчеркнем, что развивающаяся в настоящей работе теория имеет общий характер для растворов, в которых могут иметь место процессы образования и роста кластеров. Тем не менее, важным условием применимости используемых уравнений является наличие одинаковых по размеру мономеров, непосредственно определяющих рост кластеров в растворе. Фуллереновые растворы полностью удовлетворяют этому условию. Именно эта особенность выделяет растворы C_{60} и обуславливает особый интерес к изучению их свойств.

Авторы благодарят проф. М.В. Коробова, химический факультет МГУ, за плодотворную дискуссию и замечания по статье; работа выполнена при поддержке МНТП, проект # 2679.

1. В. Н. Безмельницын, А. Б. Елецкий, М. В. Окунь, УФН **168**, 1195 (1998).
2. Alok D. Bokare and A. Patnaik, J. Chem. Phys. **119**, 4529 (2003).
3. Q. Ying, J. Marecek, and B. Chu, Chem. Phys. Lett. **219**, 214 (1994).
4. Ю. С. Бараш, *Силы Ван-дер-Ваальса*, М.: Наука, 1988.
5. K. A. Affholter, S. J. Henderson, G. D. Wignall et al., J. Chem. Phys. **99**, 9224 (1993).
6. R. S. Ruoff, D. S. Tse, R. Malhotra et al., J. Phys. Chem. **97**, 3379 (1993).
7. N. Sivaraman, R. Dhamodaran, I. Kaliappan et al., J. Org. Chem. **57**, 6077 (1992).
8. T. Tomiyama, S. Uchiyama, and H. Shinohara, Chem. Phys. Lett. **264**, 143 (1997).
9. M. V. Avdeev, V. L. Aksenov, T. V. Tropin et al., BNC Progr. Rep. 2003-2004.
10. V. L. Aksenov, T. V. Tropin, M. V. Avdeev et al., Phys. of Particles and Nuclei **36**, S52 (2005).
11. V. L. Aksenov, T. V. Tropin, M. V. Avdeev et al., *Model of aggregation in fullerene solutions*, in *Electronic Properties of Molecular Nanostructures-2004*, Eds. H. Kuzmany et al., AIP Conf. Proc.
12. V. L. Aksenov, M. V. Avdeev, T. V. Tropin et al., *Fullerenes, Nanotubes and Carbon Nanoclusters* (accepted).
13. V. L. Aksenov, M. V. Avdeev, T. V. Tropin et al., *J. of Molecular Liquids* (accepted).
14. J. W. P. Schmelzer, Gerd Röpke, and V. B. Priezzhev, *Nucleation Theory and Applications*, JINR, Dubna, 1999. Chapters 2-3.
15. А. М. Жаботинский, *Концентрационные автоколебания*, М.: Наука, 1974.